

и в том и в другом случае непосредственно фазовый портрет выглядит одинаково — размытым образом, что указывает на важность дополнительных исследований, в том числе и с помощью сечения Пуанкаре для идентификации истинно хаотических колебаний.

Авторы выражают благодарность участникам II СНГ-США семинара по сегнетоэлектричеству (Санкт-Петербург, июнь 1992 г.) за обсуждение результатов.

Список литературы

- [1] Beige H., Diestelhorst M., Forster R., Krietsch T. // Phase Transitions. 1992. V. 37. P. 213–238.
- [2] Дрождин С.Н., Камышева Л.Н. // Кристаллография. 1991. Т. 36. В. 4. С. 925–930.
- [3] Мун Ф. Хаотические колебания. М.: Мир, 1990. 311 с.

Воронежский государственный университет

Поступило в Редакцию
26 февраля 1993 г.

© Физика твердого тела, том 35, № 7, 1993
Solid State Physics, vol. 35, N 7, 1993

НАБЛЮДЕНИЕ «ЗАКОНА АРХИМЕДА» В ТВЕРДОМ ЭЛЕКТРОЛИТЕ $RbAg_4I_8$

M.E. Компан

Благодаря своему промежуточному положению среди различных классов объектов физики твердого тела суперионные проводники часто проявляют весьма неожиданные свойства. Эта работа посвящена одному из таких свойств, возникающему из-за большой физической массы и классического характера носителей заряда.

В отличие от электронных проводников большая физическая масса носителей заряда делает ионные проводники гораздо более чувствительными к полям неэлектрической природы — к полю силы тяжести и инерции. Эффекты, вызванные этим, — неинерциальные эдс — впервые экспериментально наблюдались в работах [1,2] и впоследствии были подтверждены и дополнительно исследованы другими авторами (например, [3]).

Однако до настоящего времени некоторые аспекты этих явлений не анализировались. Рассмотрим, за счет каких энергетических источников реализуется гравитационная (инерционная) эдс. Напомним, что эффект состоит в перераспределении ионных носителей заряда в образце в присутствии силы тяжести, что приводит к появлению измеряемого электрического напряжения между электродами. Если к электродам присоединен внешний измерительный прибор, через него начинает протекать ток, что частично шунтирует электрическое поле, индуцированное силой тяжести. Это приводит к нарушению равновесия сил в объеме образца. Вследствие этого новые ионы должны постоянно перераспределяться таким образом, чтобы выполнялось условие равновесия

$$q_i \mathbf{E} = M_i \mathbf{a}. \quad (1)$$

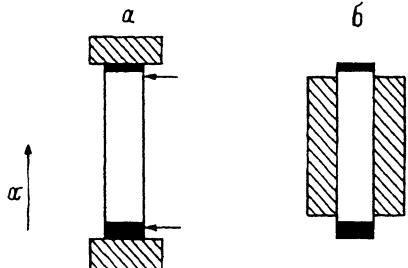


Рис. 1. Варианты фиксации образца на вибростенде.
а — вдоль электродов, б — со свободными электродами.

Здесь q_i — заряд иона; \mathbf{E} — электрическое поле, однородное в объеме проводящего образца; M_i — масса иона; a — ускорение силы тяжести или инерции.

Постоянное протекание тока должно поддерживаться каким-то источником энергии. Поскольку материал электропроводен, в объеме образца должна соблюдаться электронейтральность, поэтому перераспределяться могут только ионы из металла электродов. В свою очередь это означает, что единственным источником энергии, поддерживающим эффект, является потенциальная энергия ионов, «падающих» с верхнего электрода на нижний.

Для того чтобы понять, как это скажется на величине напряжения, измеряемого в инерционных экспериментах, рассмотрим, каким образом может проводиться эксперимент. Два возможных варианта крепления образца проиллюстрированы на рис. 1: а) образец закреплен за боковые поверхности, б) образец закреплен через плоские электроды на торцах. Легко видеть, что результат экспериментов будет отличаться для этих двух случаев. В случае а объем суперионного образца не сдвигается относительно держателя и ионы верхнего электрода переносятся через образец на нижний. В случае б внешние поверхности электродов фиксированы в держателе. Как результат этого, перенос материала между электродами должен сопровождаться сдвигом вверх всего суперионного образца. Очевидно, что изменение потенциальной энергии отличается для этих двух случаев.

Для случая а уравнение баланса энергии может быть записано как

$$(d_m - d_s)SaLdx = I^2(R_s + R_d)dt. \quad (2)$$

Здесь d_m и d_s — плотности металла электрода и суперионного материала, S — поперечное сечение образца, I — ток, R_s и R_d — сопротивления образца и измерительного прибора. Левая сторона выражения (2) соответствует уменьшению потенциальной энергии, правая — омическим потерям во время того как слой материала dx верхнего электрода переносится на нижний электрод за время dt сквозь образец длиной L .

Учитывая, что dx/dt связана с током I

$$I = dx/dt \frac{S}{V_i} q_i \quad (3)$$

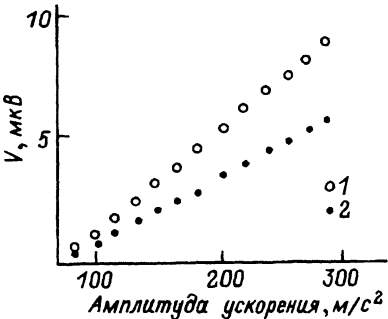


Рис. 2. Данные экспериментов по неинерциальным ЭДС, полученные с использованием различных типов держателей образца.

1 — со свободными электродами,
2 — с фиксацией через электроды.

(здесь V_i — объем, приходящийся на один атом в металле электрода; q_i — заряд подвижного иона), можно получить выражение (2) в форме закона Ома

$$(d_m - d_s)aV_iL/q_i = I(R_s + R_d). \quad (4)$$

Левая сторона уравнения (4) играет роль эдс и содержит разность плотностей. Видно, что измеряемое напряжение (IR_d ; $R_d \gg R_s$) будет уменьшаться пропорционально весу вытесняемой части суперионного материала.

В том случае, если держатель образца соответствует рис. 1,б, положение суперионного материала в эксперименте не изменяется. В уравнение, аналогичное (4), не будет входить член с плотностью d_s , результат измерения будет соответствовать соотношению (1). В эксперименте по обнаружению обсуждавшегося эффекта данная постановка опыта может являться контрольной.

Эксперимент проводился на стандартном испытательном вибростенде на частоте 75.5 Гц и при амплитудах ускорения до 350 М/с². Использовался образец в форме цилиндра длиной $L = 2.3$ см и диаметром 1.5 см. Электроды впрессовывались из смеси порошков Ag/электролит в торцы образца. Напряжение измерялось селективным вольтметром «Упирал 232В».

Результат эксперимента приведен на рис. 2. Полученные данные явно показывают 35%-ное уменьшение сигнала в случае *a* по сравнению со случаем *b*. Расчетное значение уменьшения сигнала ($d_m = 10.5$, $d_s = 5.3$ г/см³) должно быть больше — около 50%. Представляется вероятным, что наблюдаемое расхождение вызвано различием между плотностями массивного материала и приграничных слоев.

В принципе выражение (4) может быть получено из (1) и исходя из других соображений — при учете эффекта бароэдс [5,6], возникающего при неоднородном сжатии образца в случае *a*. Следует также упомянуть, что вопрос о вторичном (деформационном) перераспределении носителей заряда при инерционных опытах является достаточно серьезным и, например, для случая электронных проводников пока окончательно не решенным [4]. В данном случае получен относительно простой результат, что, видимо, является результатом макроскопического подхода.

Обнаруженный эффект демонстрирует неожиданную макроскопическую аналогию суперионного материала с обычными жидкостями и тем самым еще раз подтверждает близость природы суперионных проводников и жидкого состояния.

Автор пользуется случаем поблагодарить И.А.Меркулова, которому принадлежит идея данной работы.

Список литературы

- [1] Компан М.Е. // Письма в ЖЭТФ. 1983. Т. 37. № 6. С. 327–330.
- [2] Компан М.Е., Стельмах Н.М. // Письма в ЖТФ. 1983. Т. 9. № 7. С. 418–421.
- [3] Koch W., Rickert H. // Solid State Ionics. 1988. V. 28–30. Pt II. P. 1664–1667.

- [4] Гинзбург В.Л., Коган Ш.М. // ЖЭТФ. 1971. Т. 61. № 3(9). С. 1177–1180.
[5] Mrgudich J.M. // Proc. of 21st Annual Power Source Conf. 1967. Transaction of ASME. 1969. V. 69. P. 117–120.
[6] Gerbstien Yu.M., Chudnovskii F.A. // Solid State Ionics. 1984. V. 21. N 10. P. 817–818.

Физико-технический институт
им. А.Ф.Иоффе
Санкт-Петербург

Поступило в Редакцию
26 февраля 1993 г.

УДК 621.315.592

© Физика твердого тела, том 35, № 7, 1993
Solid State Physics, vol. 35, N 7, 1993

ОПТИЧЕСКИЕ СВОЙСТВА РАЗБАВЛЕННОГО МАГНИТНОГО ПОЛУПРОВОДНИКА $\text{Cd}_{1-x-y}\text{Mn}_x\text{Mg}_y\text{Te}$

Г.К.Аверкиева, В.Ф.Агекян, Л.К.Гриднева, В.Д.Прочухан, А.Ю.Серов

Твердые растворы полупроводников группы II–VI с магнитной компонентой из группы железа (так называемые разбавленные магнитные полупроводники — РМП) [1] обладают рядом особых свойств. При релаксации электронного возбуждения имеет место конкуренция между двумя каналами излучательной рекомбинации — обычным межзонным и внутрицентровым через уровни незаполненной 3d-оболочки ионов группы железа. Сильное обменное взаимодействие между спинами электронов и магнитными моментами ионов группы железа приводит к гигантским магнитооптическим эффектам и образованию магнитного полярона [2,3]. Наиболее изученный РМП $\text{Cd}_{1-x}\text{Mn}_x\text{Te}$ имеет важное применение как барьерное вещество в структурах с квантовыми ямами и в сверхрешетках типа $\text{CdTe}/\text{Cd}_{1-x}\text{Mn}_x\text{Te}$ [4,5].

По спектрам экситонного отражения было установлено, что в $\text{Cd}_{1-x}\text{Mn}_x\text{Te}$ ширина запрещенной зоны E_g зависит от x приблизительно линейно

$$E(x) = 1.594 + 1.55x \quad (T = 77 \text{ K}),$$

$$E(x) = 1.603 + 1.64x \quad (T = 4 \text{ K}).$$

Величина x определяет концентрацию N_s нескомпенсированных магнитных моментов кристаллической решетки, от которой зависят ее магнитные свойства. Максимальное значение N_s соответствует $x = 0.15$, поскольку дальнейшее увеличение x инициирует образование антиферромагнитных пар и кластеров из близко расположенных ионов Mn^{2+} . По этой причине в $\text{Cd}_{0.85}\text{Mn}_{0.15}\text{Te}$ наблюдаются наиболее сильные эффекты Зеемана и Фарадея, причем максимальное значение постоянной Верде соответствует спектральной области, примыкающей к пику экситонного поглощения. Жесткая связь между $E_g(x)$ и $N_s(x)$ может рассматриваться в ряде случаев как недостаток $\text{Cd}_{1-x}\text{Mn}_x\text{Te}$ и его аналогов. Более сложные РМП, которые содержат трикатионные компоненты, свободны от этого ограничения. Настоящая работа является первым исследованием свойств РМП $\text{Cd}_{1-x-y}\text{Mn}_x\text{Mg}_y\text{Te}$ в широком диапазоне относительных концентраций катионов ($0.05 < x < 0.65$, $0.05 < y < 0.50$). Отметим, что использование щелочноземельных элементов позволяет резко расширить разнообразие твердых растворов на основе кристаллов группы II–VI.